

# Proximity Gaps 与 Correlated Agreement: FRI 安全性证明的核心

- Jade Xie [jade@secbit.io](mailto:jade@secbit.io)
- Yu Guo [yu.guo@secbit.io](mailto:yu.guo@secbit.io)

本文主要受 [Proximity Gaps & Applications to Succinct Proofs](#) 视频中的启发，结合论文[BCIKS20]，介绍 Proximity Gaps 的概念，以及与 Proximity Gaps 有着紧密联系的 Correlated Agreement 定理，其在 FRI 安全性证明中起了非常重要的作用。

在 FRI 协议中，对于一个多项式  $f: \mathcal{D} \rightarrow \mathbb{F}_q$ ，设  $f(x) = a_0 + a_1x + a_2x^2 + \dots + a_{k-1}x^{k-1}$ ，其是一个次数小于  $k$  的多项式，将其在域  $\mathcal{D}$  上进行求值，其中  $|\mathcal{D}| = n$ ，则  $f \in \text{RS}[\mathbb{F}_q, \mathcal{D}, k]$ 。Prover 想向 Verifier 证明  $f(x)$  的次数确实是小于  $k$  的。如果  $f \in \text{RS}[\mathbb{F}_q, \mathcal{D}, k]$ ，则 Verifier 输出 `accept`，如果  $f$  距离对应的编码空间  $\text{RS}[\mathbb{F}_q, \mathcal{D}, k]$  有  $\delta$  远，则输出 `reject`。Verifier 能够获得的是关于一系列函数的 oracle，FRI 协议想要实现的就是 Verifier 查询 oracle 尽可能的少，并能区分出  $f$  属于上述哪一种情况。

不妨设  $k - 1$  为偶数，那么

$$\begin{aligned} f(x) &= a_0 + a_1x + a_2x^2 + \dots + a_{k-1}x^{k-1} \\ &= (a_0 + a_2x^2 + \dots + a_{k-1}x^{k-1}) + x(a_1 + a_3x^2 + \dots + a_{k-2}x^{k-3}) \\ &:= g(x^2) + xh(x^2) \end{aligned} \tag{1}$$

可以发现函数

$$\begin{aligned} g(x) &= a_0 + a_2x + \dots + a_{k-1}x^{\frac{k-1}{2}} \\ h(x) &= a_1 + a_3x + \dots + a_{k-2}x^{\frac{k-3}{2}} \end{aligned} \tag{2}$$

开始 Prover 想向 Verifier 证明  $f(x)$  的次数小于  $k$ ，现在可以分解成三个子问题：

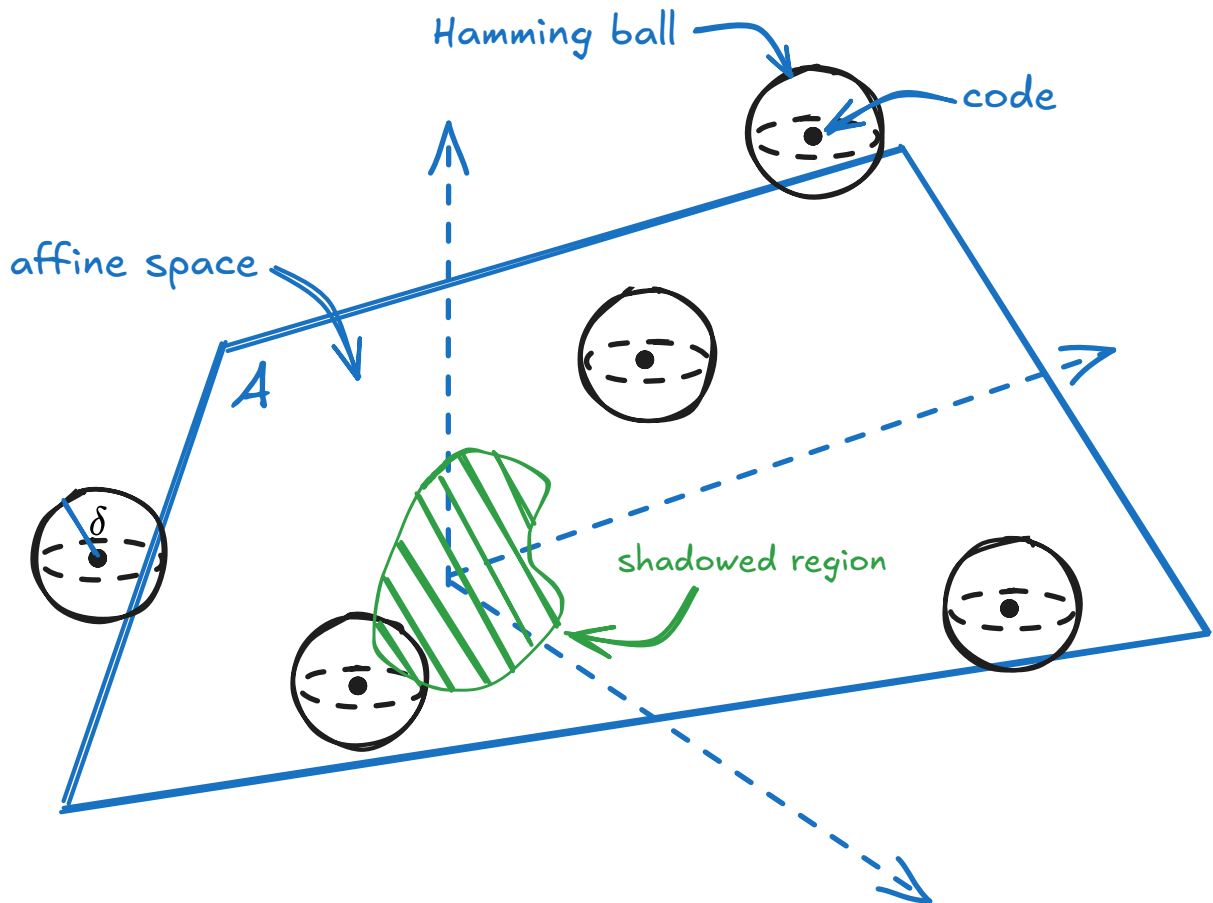
1. 证明函数  $g(x)$  的次数小于  $k/2$ ，即  $g(x) \in \text{RS}[\mathbb{F}_q, \mathcal{D}^{(1)}, k/2]$
2. 证明函数  $h(x)$  的次数小于  $k/2$ ，即  $h(x) \in \text{RS}[\mathbb{F}_q, \mathcal{D}^{(1)}, k/2]$
3. 证明  $f(x) = g(x^2) + x \cdot h(x^2)$

其中  $|\mathcal{D}^{(1)}| = n/2$ 。第三项是证明奇偶拆分是正确的。同样可以分别对  $g(x)$  和  $h(x)$  进行类似  $f(x)$  那样奇偶项的分解，分别分解成两个次数小于  $k/4$  的多项式，这样就要证明 4 个多项式的次数小于  $k/4$ ，直到最后分解到证明常数多项式。这个过程如下图所示，可以发现要证明的多项式在以 2 的指数的形式增长。在这个过程中，为了证明奇偶拆分是没有问题的，需要发送关于所有这些多项式的 oracle 给 Verifier，可以想象发送的多项式实在是太多了，随着  $k$  的增加是爆炸性增长的。



上面我们考虑的是两个多项式折叠的情况，实际中我们会用到随机数一次进行多折或者对多个多项式进行 batch。这里我们不妨考虑一般的情况，假设有  $m$  个向量  $(u_0, \dots, u_{m-1})$ ，对每一个  $u_i \in \mathbb{F}_q^D$ ，可以看作是  $\mathcal{D} \rightarrow \mathbb{F}$  上的多项式，也可以看作是  $|\mathcal{D}| = n$  维的向量。对这  $m$  个向量进行线性组合，记作  $A = \text{span}\{u_0, \dots, u_{m-1}\}$ ，这里的  $A$  是  $\mathbb{F}^D$  中的 affine space，记编码空间  $V := \text{RS}[\mathbb{F}, \mathcal{D}, k]$ 。

我们关心  $A$  中的元素与编码空间  $V$  之间的距离关系是怎样的。如下图所示，将编码空间  $V$  中的所有 code 表示为点，以这些点为圆心，以  $\delta$  为半径画一个球体。 $A$  形成的空间用一个二维平面表示，如果  $A$  中的元素距离  $V$  中的某些 code 之间的相对 Hamming 距离小于等于  $\delta$ ，就说明与图中的某些 Hamming 球之间有交集，将所有的这些交集并起来就形成了图中绿色的阴影区域。换句话说，对于阴影区域  $S \subset A$  的每一个元素  $a$ ，一定存在一个  $v \in V$ ，使得  $\Delta(a, v) \leq \delta$ 。



我们将  $\mathbb{F}^D$  中的所有的 affine space 组成一个集合  $\mathcal{C}_{\text{Affine}}$ ，Proximity Gaps 结论[BCIKS20, Theorem 1.2]告诉对于任意一个  $A \in \mathcal{C}_{\text{Affine}}$  (如  $A = \text{span}\{u_0, \dots, u_{m-1}\}$ )，都有要么  $A$  中的所有元素都在阴影区域里面，要么  $A$  中只有很少的一部分元素在阴影区域中。不可能说  $A$  中一半的元素在阴影区域，而另一半的元素不在阴影区域中。用公式表达就是只能符合下面两种情况之一：

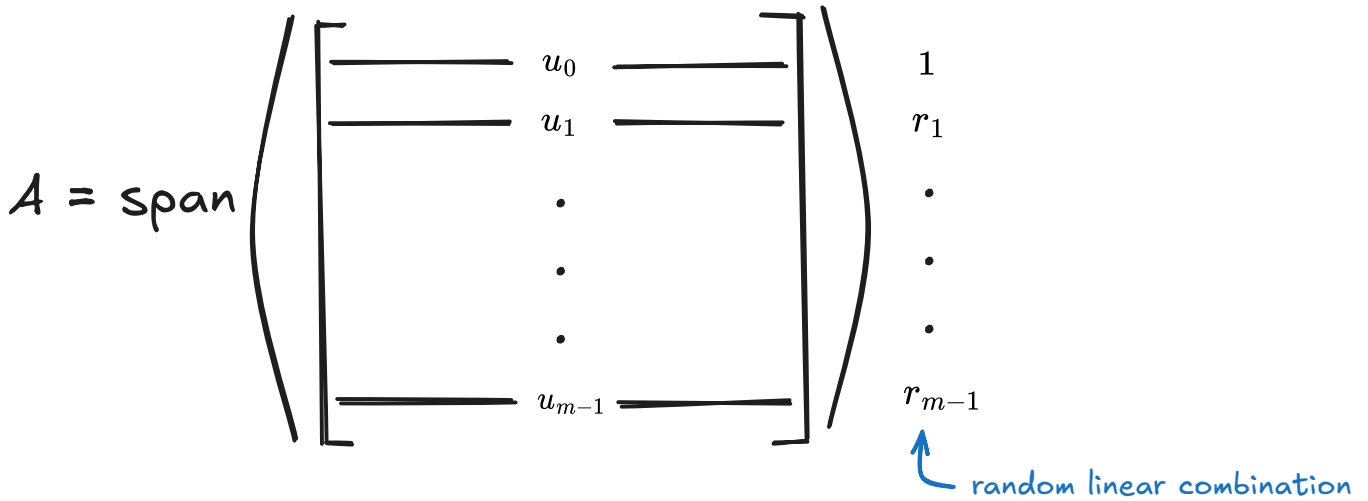
1.  $\Pr_{a \in A}[\Delta(a, V) \leq \delta] \leq \epsilon$
2.  $\Pr_{a \in A}[\Delta(a, V) \leq \delta] = 1$

我们称  $\delta$  为 proximity 参数(proximity parameter)， $\epsilon$  为误差参数(error parameter)，它是一个非常小的数。当然关于  $\epsilon$  有具体表达式的，其和  $q, n, \rho, \delta$  是相关的，即  $\epsilon = \epsilon(q, n, \rho, \delta)$ ，其中  $\rho$  表示码率， $\rho = \frac{k}{n}$ 。

那么这里的阴影区域代表什么呢？这个结论与 FRI 的安全性分析之间有什么关系呢？下面针对诚实的 Prover 和作弊的 Prover 这两种情况来应用 Proximity Gaps 结论进行分析。

## 诚实的 Prover

如果是诚实的 Prover，那么对  $(u_0, \dots, u_{m-1})$  中的每一个向量都有  $u_i \in V$ 。



由 RS 编码的线性性，我们知道线性组合之后一定还在编码空间  $V$  中，因此  $A \subset V$ ，此时  $A$  中所有的元素都在  $V$  中，那么 Verifier 进行随机线性组合之后，任意选取一点  $a \in A$ ，都能得到  $a \in V$ ，此时 Verifier 一定会接受。这种情况对应 Proximity Gaps 中的第二种情况，取  $\delta = 0$ ，此时

$$\Pr_{a \in A} [\Delta(a, V) = 0] = 1 \quad (3)$$

## 恶意的 Prover

如果 Prover 作弊，假设在 Prover 发送给 Verifier 的  $m$  个向量  $\vec{u} = (u_0, \dots, u_{m-1})$  中混入了一个向量距离  $V$  有  $\delta$  远，即

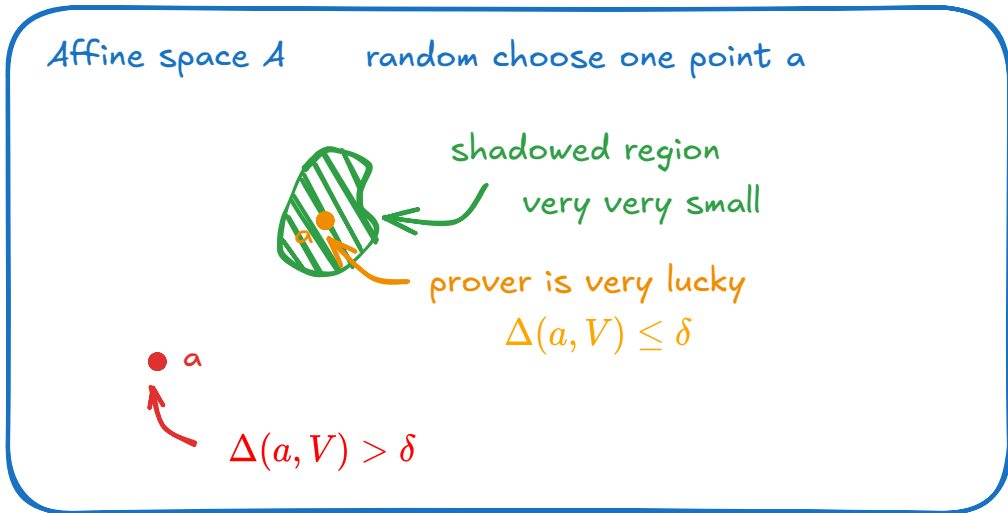
$$\exists u_i^* \in \vec{u}, \quad \Delta(u_i^*, V) > \delta \quad (4)$$

那么在  $A = \text{span}\{u_0, u_1, \dots, u_{m-1}\}$  中，取  $a^* = u_i^* \in A$ ，肯定有

$$\exists a^* \in A, \quad \Delta(a^*, V) > \delta \quad (5)$$

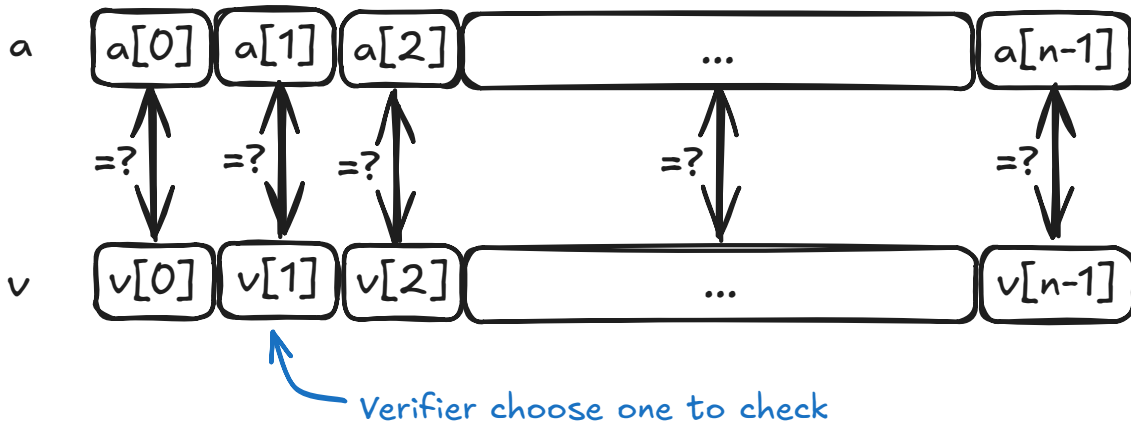
此时根据 Proximity Gaps 结论，已经有  $A$  中的一个元素不在阴影区域内了，因此排除  $\Pr_{a \in A} [\Delta(a, V) \leq \delta] = 1$  这种情况，只能是  $\Pr_{a \in A} [\Delta(a, V) \leq \delta] \leq \epsilon$ 。这也说明哪怕  $m$  个向量中只有一个向量距离对应的编码空间有  $\delta$  那么远， $A$  中大部分元素都距离  $V$  有  $\delta$  那么远。换句话说，随机从  $A$  中选取的一点  $a$ ，其与  $V$  之间的距离能代表  $m$  个向量中距离  $V$  的最远距离。

现在 Verifier 就从  $A$  中随机选取一点  $a \in A$ ，来检查  $\Delta(a, V)$  是否大于  $\delta$ ，会出现两种情况。一种是选到了图中的阴影区域，另一种是选到阴影区域之外。



情况 1:  $\Delta(a, V) \leq \delta$ 。此时 Verifier 选取的点  $a$  在阴影区域内。我们说此时 Prover 非常幸运，虽然 Prover 提供了错误的 witness，即距离编码空间  $\delta$  远，但是随机线性组合之后距离编码空间变得有  $\delta$  那么近了，此时 Prover 能成功骗过 Verifier。出现这种情况对 Verifier 来说不是好事，好在 Proximity Gaps 结论告诉我们  $\Pr_{a \in A}[\Delta(a, V) \leq \delta] \leq \epsilon$ ，也就是随便选一点能进入阴影区域的概率是非常非常小的，Prover 需要像中彩票那么幸运才行，也就是此时 Prover 能成功骗过 Verifier 的概率不会超过  $\epsilon$ 。

情况 2:  $\Delta(a, V) > \delta$ 。此时 Verifier 选取的点  $a$  在阴影区域外。Prover 还有可能作弊成功吗？还是有的，因为 Verifier 收到了关于  $a$  的 oracle，但是不会去检查  $a$  中的所有值，只想查询某一些值来看是否在  $V$  中。如果 Verifier 只查询一次，由于  $\Delta(a, V) > \delta$ ，那么  $a$  中有大于  $\delta$  比例的分量与  $v$  对应的分量不等，此时 Verifier 有大于  $\delta$  的概率抓到 Prover 作弊，也就是说此时 Prover 能作弊成功的概率不超过  $1 - \delta$ 。



如果 Verifier 重复查询  $\kappa$  次，此时 Prover 能作弊成功的概率不会超过  $(1 - \delta)^\kappa$ 。

那么，作弊的 Prover 能够成功的概率是上述两种情况的联合概率，即不会超过

$$\epsilon + (1 - \delta)^\kappa \tag{6}$$

上面分析的思路其实就是一般 FRI 协议 soundness 分析的思路，论文中会将发生情况 1 叫做发生了一些“坏”的事件 (“bad” event)，然后假设“坏”的事件没有发生的情况下，估计情况 2 的概率，最后再将两个结合起来进行分析。

我们知道 FRI 协议分为两个阶段，一个是 Commit 阶段，另一个是 Query 阶段。我们可以将上述两种情况与这两个阶段对应起来：

1. 上述情况 1 发生在 Commit 阶段，Verifier 会选取随机数让 Prover 对多项式进行折叠。
2. 上述情况 2 对应发生在 Query 阶段，此时 Verifier 会随机选取一些点进行 query 检查。

如果是 batched 版本的 FRI 协议，想证明多个多项式  $f_0^{(0)}, f_1^{(0)}, \dots, f_t^{(0)}$ ，都是小于  $k$  次的多项式，可以先用随机数  $\{x_1, \dots, x_t\}$  进行聚合，得到

$$f^{(0)}(x) = f_0^{(0)} + \sum_{i=1}^t x_i \cdot f_i^{(0)} \quad (7)$$

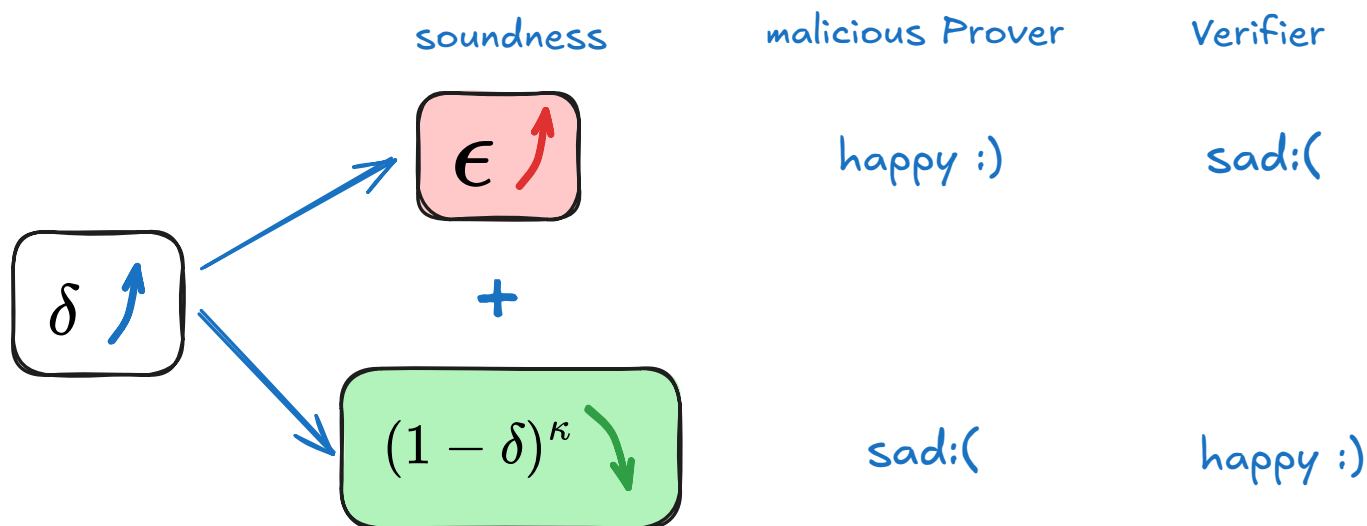
然后再对  $f^{(0)}(x)$  应用一般的 FRI 协议，证明其是小于  $k$  次的多项式。这里分析 soundness 也是对应上述情况 1，即可能存在由于随机数的选取导致  $f^{(0)}(x)$  距离对应的 RS 编码空间变得不再有  $\delta$  远。

## $\delta$ 增加带来的影响

下面分析下 proximity 参数  $\delta$  的增加会带来什么影响？我们已经分析出作弊的 Prover 能成功骗过 Verifier 的概率不超过

$$\epsilon + (1 - \delta)^\kappa \quad (8)$$

这个概率由两部分组成， $\delta$  的增加会导致：



- $\epsilon \uparrow$ 。从图形上来理解， $\delta$  控制了每个 Hamming 球的半径，如果  $\delta$  增大，那么 Hamming 球变大，其与 affine space  $A$  之间的交集按理说就会更大，也就是阴影区域增大，这就意味着  $\epsilon$  会变大。
  - 对作弊的 Prover 来说是好事 :)。因为此时 Prover 变得比之前更加幸运了，有更大的概率进入绿色的阴影区域，能成功骗过 Verifier 了。
  - 自然，对 Verifier 来说是坏事 :(。
- $(1 - \delta)^\kappa \downarrow$ 。这个式子是直接和  $\delta$  相关的， $\delta$  增大，那么  $(1 - \delta)^\kappa$  会变小。
  - 对作弊的 Prover 来说是坏事 :(。因为此时 Prover 作弊成功的概率会变小。
  - 对 Verifier 来说是好事 :)。此时有更大的概率抓住 Prover 作弊。在达到相同的安全性要求下，Verifier 只需要更少的轮询次数就能达到要求了。

可以看到， $\delta$  的增加使得  $\epsilon$  变大， $(1 - \delta)^\kappa$  变小，在实际中， $\epsilon$  是非常小的， $(1 - \delta)^\kappa$  在整个和式中所占比例更大，因此整体还是会变小的，这对于整个 FRI 协议来说，soundness 变小，也说明会更加安全。

上面是从 soundness 角度分析的，视频 [Proximity Gaps & Applications to Succinct Proofs](#) 中还提到一点， $\delta$  的增大会使得 Correlated Agreement 结论变得更弱，Correlated Agreement 是一个比 Proximity Gaps 更强的结论（到目前为止，还没有证明出它们等价）。下面就介绍下 Correlated Agreement 结论。

# Correlated Agreement

前面提到的 affine space  $A = \text{span}\{u_0, u_1, \dots, u_{m-1}\}$ ，为保持和 [BCIKS20, Theorem 1.6] 结论一致，在第一个向量  $u_0$  前不使用随机数，设  $A = u_0 + \text{span}\{u_1, \dots, u_{m-1}\}$ 。

Correlated Agreement 定理 ([BCIKS20, Theorem 1.6]) 说的是如果  $\delta \in (0, 1 - \sqrt{\rho})$  并且

$$\Pr_{a \in A} [\Delta(a, V) \leq \delta] > \epsilon, \tag{9}$$

其中， $\epsilon$  就是 Proximity Gaps 结论中给出的  $\epsilon$ ，那么存在  $\mathcal{D}' \subset \mathcal{D}$ ，以及  $v_0, \dots, v_{m-1} \in V$  使得

1. **Density** :  $\frac{|\mathcal{D}'|}{|\mathcal{D}|} \geq 1 - \delta$ ,
2. **Agreement** : 对任意的  $i \in \{0, \dots, m-1\}$ ，有  $u_i|_{\mathcal{D}'} = v_i|_{\mathcal{D}'}$ 。

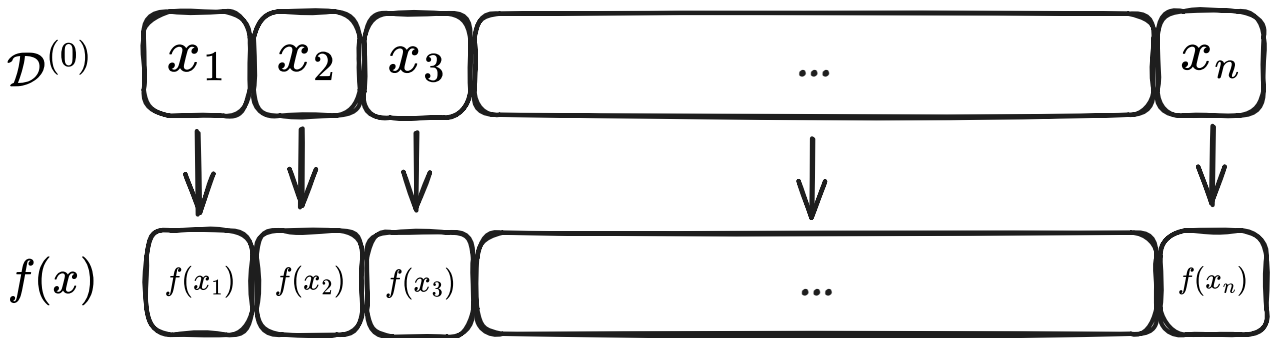
意思是如果落入阴影区域的元素很多，占比比 Proximity Gaps 结论中的  $\epsilon$  还大的话，那么在  $V$  中存在码字  $v_0, \dots, v_{m-1}$ ，会在区域  $\mathcal{D}$  中存在一个占比很大(超过  $1 - \delta$ )的子集  $\mathcal{D}'$ ，在这里每个  $u_i$  都能与对应的  $v_i$  在  $\mathcal{D}'$  上是一致的。根据 Proximity Gaps 的结论， $A$  中的元素分为以下两种情况：

1.  $\Pr_{a \in A} [\Delta(a, V) \leq \delta] \leq \epsilon$
2.  $\Pr_{a \in A} [\Delta(a, V) \leq \delta] = 1$

现在落入阴影区域的元素占比比  $\epsilon$  还大，那么自然排除第一种情况，得出  $A$  中所有的元素都落在阴影区域中，即  $\Pr_{a \in A} [\Delta(a, V) \leq \delta] = 1$ 。

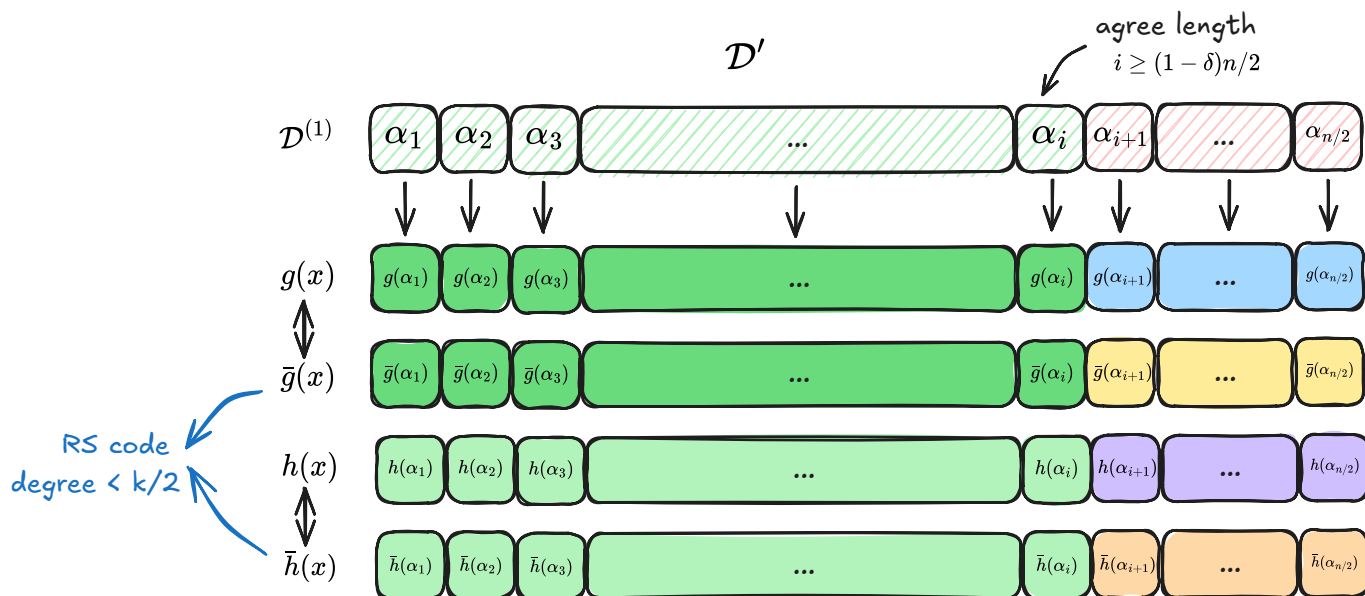
而 Correlated Agreement 定理给出了更加具体的结论，说的是在折叠之前的元素  $u_i$  与在编码空间  $V$  中找到的码字  $v_i$  之间的关系。

例如，Prover 想证明的是一个多项式  $f \in \text{RS}[\mathbb{F}_q, \mathcal{D}^{(0)}, k]$ ，设  $\mathcal{D}^{(0)} = \{x_1, \dots, x_n\}$ ，计算  $\{f(x_1), \dots, f(x_n)\}$ ，Prover 就会将这些值的 oracle 发送给 Verifier，实际中会采用 Merkle 树的方式来实现 oracle。



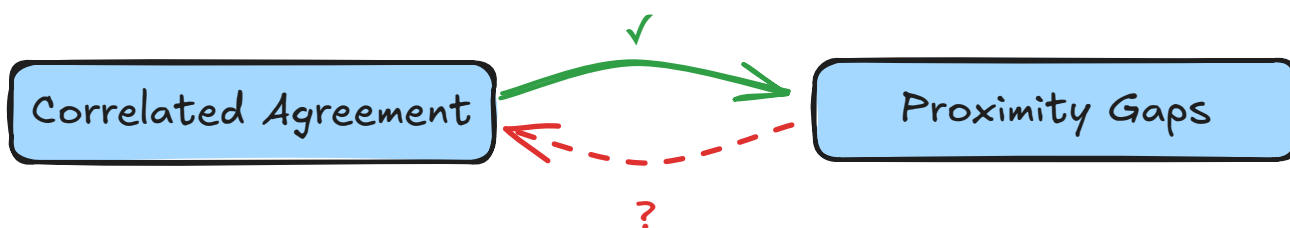
将  $f$  通过拆分得到两个多项式  $g(x)$  与  $h(x)$ 。诚实的情况下  $g, h \in \text{RS}[\mathbb{F}_q, \mathcal{D}^{(1)}, k/2]$ ，其中  $|\mathcal{D}^{(1)}| = |\mathcal{D}^{(0)}|/2 = n/2$ 。

Correlated Agreement 结论告诉我们，对于  $g(x)$  与  $h(x)$  形成的 affine space  $A = \{g + z \cdot h : z \in \mathbb{F}\}$ ，如果  $A$  中有超过 Proximity Gaps 结论中的  $\epsilon$  的比例的元素都落入了“阴影区域”，即满足  $\Delta(a, V) \geq \delta$ ，那么就存在如下图所示的  $\mathcal{D}'$ ，以及  $\bar{g}, \bar{h} \in \text{RS}[\mathbb{F}_q, \mathcal{D}^{(1)}, k/2]$ 。不妨设  $\mathcal{D}' = \{\alpha_1, \alpha_2, \dots, \alpha_i\}$ ，那么根据结论  $|\mathcal{D}'|/|\mathcal{D}^{(1)}| \geq 1 - \delta$ ，有指标  $i \geq (1 - \delta)n/2$ 。在所有的  $\mathcal{D}'$  上， $g$  与  $\bar{g}$  一致， $h$  与  $\bar{h}$  一致，在图中用绿色表示，意思就是在这些  $\mathcal{D}'$  集合中的点上求值，它们的值是一样的。



回到  $\delta$  增大的分析，可以看到随着  $\delta$  的增大，Correlated Agreement 结论里的第一条 **Density** 中的  $1 - \delta$  就会变小，这使得结论中能确保的存在  $V$  中的  $v_i$  与  $u_i$  一致的子集  $D'$  就变小了，使得得到的结论更弱了。

在 [BCIKS20] 论文中说到，Proximity Gap 定理([BCIKS20, 定理 1.2]) 就是通过 Correlated Agreement 定理 ([BCIKS20, 定理 1.6]) 推导得出的，但是 Proximity Gap 定理目前还不知道能否推出 Correlated Agreement。如果 Proximity Gap 不能推出 Correlated Agreement 定理的话，说明 Correlated Agreement 定理是一个比 Proximity Gap 定理更强的结论。那如果能推出的话，说明这两个定理就等价了。



其实 Correlated Agreement 定理的版本很多，取不同的  $A$  就能得到不同的定理， $A$  可以是：

1. 线(lines):  $A = \{u_0 + zu_1 : z \in \mathbb{F}\}$
2. 低次参数化曲线(low-degree parameterized curves):  $\text{curve}(\mathbf{u}) = \left\{ u_z := \sum_{i=0}^{m-1} z^i \cdot u_i \mid z \in \mathbb{F}_q \right\}$
3. affine space:  $u_0 + \text{span}\{u_1, \dots, u_{m-1}\}$

同时，关于 Correlated Agreement 定理的条件

$$\Pr_{a \in A} [\Delta(a, V) \leq \delta] > \epsilon, \quad (10)$$

这里我们测量的是  $a$  与  $V$  之间的相对 Hamming 距离，我们还可以将这个测度变得更一般化，加上权重，给一个权重函数  $\mu : \mathcal{D} \rightarrow [0, 1]$ ，定义两个向量  $u$  与  $v$  之间的相对  $\mu$ -agreement 为

$$\text{agree}_\mu(u, v) := \frac{1}{|\mathcal{D}|} \sum_{x: u(x)=v(x)} \mu(x) \quad (11)$$

当取  $\mu \equiv 1$  时，

$$\text{agree}_\mu(u, v) = \frac{1}{|\mathcal{D}|} \sum_{x:u(x)=v(x)} \mu(x) = \frac{1}{|\mathcal{D}|} \sum_{x:u(x)=v(x)} 1 = 1 - \Delta(u, v) \quad (12)$$

这个测度的值就完全等于用 1 减去相对 Hamming 距离了。同样定义一个向量  $u$  与编码空间  $V$  之间的最大 agreement 为

$$\text{agree}_\mu(u, V) := \max_{v \in V} \text{agree}_\mu(u, v) \quad (13)$$

将定理中的条件变为：

$$\Pr_{a \in A} [\text{agree}_\mu \leq \alpha] > \epsilon, \quad (14)$$

就会得到对应的 Weighted correlated agreement 定理(见[BCIKS20, Section 7])。可见 Correlated agreement 定理是非常灵活的。在论文[BCIKS20, Theorem 8.3]中关于 batched FRI 协议的 soundness 证明，就先定义了需要的权重函数  $\mu$ ，使用 Weighted Correlated Agreement 定理来证明，而不是用 Proximity Gap 定理来进行证明。且该定理一般都出现在反证法中，它能有力的帮我们找到编码空间的码字  $v_i$ ，且满足定理结论中说到的性质，能够通过推导帮助我们找到矛盾。

## Correlated Agreement 定理在 soundness 中的应用

这里简单描述下 Correlated Agreement 定理在 soundness 证明中的应用，没有那么严谨，实际的安全性分析会更加复杂。

前面说过 FRI 协议的 soundness 分析分为两个部分：

1. 在 batch 阶段 或者 Commit 阶段，由于随机数的选择不当，使得原本距离编码空间很远的多项式，经过折叠之后距离相应的编码空间变得更近了，也就是进入了“阴影区域”。
2. 在 Query 阶段，由于随机进行检查，导致没抓住 Prover 作弊。

Correlated Agreement 定理主要就是应用在第一部分中的概率分析，会先定义“坏”的事件  $E^{(i)}$ ：折叠之前  $\Delta^*(f^{(i)}, \text{RS}^{(i)}) > \delta$ ，将  $f^{(i)}$  拆分为  $g^{(i+1)}$  与  $h^{(i+1)}$ ，再用随机数  $r \in \mathbb{F}$  进行折叠之后得到  $\text{fold}_r(f^{(i)})$ ，发生了

$$\Delta(\text{fold}_r(f^{(i)}), \text{RS}^{(i+1)}) \leq \delta \quad (15)$$

这里用到了  $\Delta^*$ ，它的定义与 Hamming 距离有所区别，其联系了 FRI 的 Query 阶段的随机查询，这里就不详细展开了。假设发生一个“坏”的事件  $E^{(i)}$  的概率不超过  $\epsilon$ ，即

$$\Pr[E^{(i)}] = \Pr_{r \in \mathbb{F}} [\Delta(\text{fold}_r(f^{(i)}), \text{RS}^{(i+1)}) \leq \delta] \leq \epsilon \quad (1)$$

如果 FRI 协议中折叠  $d$  次，那么发生一些“坏”的事件的概率不超过  $d \cdot \epsilon$ ，即

$$\bigcup_{i=0}^d \Pr[E^{(i)}] \leq d \cdot \epsilon \quad (16)$$

这样就将第一部分的概率分析出来了，接着再假设没有这些“坏”的事件发生，来分析第二部分的概率，最终结合两部分概率就能得到 soundness 的结论。

现在剩下的一个关键问题是如何证明 (1) 式，即证明如果  $\Delta^*(f^{(i)}, \text{RS}^{(i)}) > \delta$ ，有

$$\Pr_{r \in \mathbb{F}} [\Delta(\text{fold}_r(f^{(i)}), \text{RS}^{(i+1)}) \leq \delta] \leq \epsilon \quad (2)$$

思路就是用反证法，假设 (2) 式不成立，即

$$\Pr_{r \in \mathbb{F}}[\Delta(\text{fold}_r(f^{(i)}), \text{RS}^{(i+1)}) \leq \delta] > \epsilon \quad (17)$$

这就满足了 Correlated Agreement 定理的条件了，说明此时存在  $\mathcal{D}' \subset \mathcal{D}^{(i+1)}$ ，以及  $\bar{g}^{(i+1)}, \bar{h}^{(i+1)} \in \text{RS}^{(i+1)}$  满足

$$\bar{g}^{(i+1)}|_{\mathcal{D}'} = g^{(i+1)}|_{\mathcal{D}'}, \quad \bar{h}^{(i+1)}|_{\mathcal{D}'} = h^{(i+1)}|_{\mathcal{D}'} \quad (18)$$

并且  $|\mathcal{D}'| \geq (1 - \delta)|\mathcal{D}^{(i+1)}|$ 。拿着这编码空间中的码字  $\bar{g}^{(i+1)}$  与  $\bar{h}^{(i+1)}$ ，能得到一个多项式  $\bar{f}^{(i)}$ ，

$$\bar{f}^{(i)}(x) = \bar{g}^{(i+1)}(x^2) + x \cdot \bar{h}^{(i+1)}(x^2) \quad (19)$$

由于编码的线性性，那么  $\bar{f}^{(i)}$  肯定也是一个码字，且  $\bar{f}^{(i)} \in \text{RS}^{(i)}$ ，同时有

$$\bar{f}^{(i)}|_{\mathcal{D}'} = f^{(i)}|_{\mathcal{D}'} \quad (20)$$

由于  $|\mathcal{D}'| \geq (1 - \delta)|\mathcal{D}^{(i+1)}|$ ，我们可以得到  $\Delta^*(f^{(i)}, \text{RS}^{(i)}) \leq \Delta^*(f^{(i)}, \bar{f}^{(i)}) \leq \delta$ ，这与假设矛盾，因此 (2) 式成立。

## 总结

---

Proximity gap 在 FRI 协议中起着至关重要的作用，它能让我们放心的用随机数对多项式进行折叠，这大大减少了 Prover 发送 oracle 的数量，同时也减少了 Verifier 查询的数量。此外，Proximity gap 和 Correlated Agreement 定理密切相关，并且在 FRI 的 soundness 分析中起到了关键作用。

## References

---

- [BCIKS20] Eli Ben-Sasson, Dan Carmon, Yuval Ishai, Swastik Kopparty, and Shubhangi Saraf. Proximity Gaps for Reed–Solomon Codes. In *Proceedings of the 61st Annual IEEE Symposium on Foundations of Computer Science*, pages 900–909, 2020.
- 视频: [Proximity Gaps & Applications to Succinct Proofs](#)